

Возможен и другой путь: для решения $\{x_1, x_2, \dots, x_{n-1}\}$ сначала для каждого $i = 1, 2, \dots, n$ решить для каждого x_i неравенство $x_1, x_2, \dots, x_{n-1} \leq x_i$ в исходном (11), и для каждого x_i решить систему неравенств для всех остальных x_j ($j \neq i$). Для каждого x_i в исходном (11) есть одна строка θ_i , в которой x_i присутствует в неравенстве $\theta_i, x_1, x_2, \dots, x_{n-1}$ более чем в одном месте. Система (11) не имеет решения, если в строке θ_i для каждого x_i в неравенстве $\theta_i, x_1, x_2, \dots, x_{n-1}$ присутствует не более одного места.

REPREZENTAREA UNOR SISTEME DE ECUAȚII CU AJUTORUL NOMOGRAMELOR CU TRANSPARENT ORIENTAT

DE

LASCU BALĂ și GH. D. IONESCU

(Cluj)

Ne propunem în lucrarea de față să examinăm anumite sisteme de ecuații, care se pot rezolva cu ajutorul lunei nomograme cu transparent orientat.

Fie pentru aceasta un plan fix (π), raportat la sistemul cartezian oxy (fig. 1), în care să presupunem traseate cîmpurile binare (z_4, z_5) ; (z_6, z_7) ; (z_8, z_9) , exprimate analitic de ecuațiile

$$\begin{aligned}
 (z_4, z_5) \quad & x = f_{45} \\
 & y = g_{45} \\
 (z_6, z_7) \quad & x = f_{67} \\
 & y = g_{67} \\
 (z_8, z_9) \quad & x = f_{89} \\
 & y = g_{89}
 \end{aligned} \tag{1}$$

și de asemenea un plan mobil (π'), raportat la sistemul ox_1y_1 (fig. 2), în care de data aceasta să presupunem trasate curbele suport ale variabilelor z_1, z_2, z_3 , exprimate analitic prin ecuațiile parametrice :

$$\begin{aligned} (C_1) \quad & x_1 = f_1 \\ & y_1 = g_1 \\ (C_2) \quad & x_1 = f_2 \\ & y_1 = g_2 \\ (C_3) \quad & x_1 = f_3 \\ & y_1 = g_3 \end{aligned} \tag{2}$$

Poziția planului (π') față de planul (π) depinde de 3 parametri; are în general 3 grade de libertate. Punând condiția ca un punct $P_{4,5}$ din cîmpul (z_4, z_5) să coincidă cu un punct M'_1 de pe curba C'_1 , realizăm un contact de poziție care micșorează cu 2 unități numărul gradelor de libertate, iar condiția ca dreapta D' din planul (π') să fie paralelă cu dreapta (D) din planul (π) mișcorează cu încă o unitate numărul gradelor de libertate. Așadar, contactele de poziție ale planului (π'), față de planul (π), sunt :

$$M'_1 \equiv P_{4,5}; \quad D' \parallel D \quad (3)$$

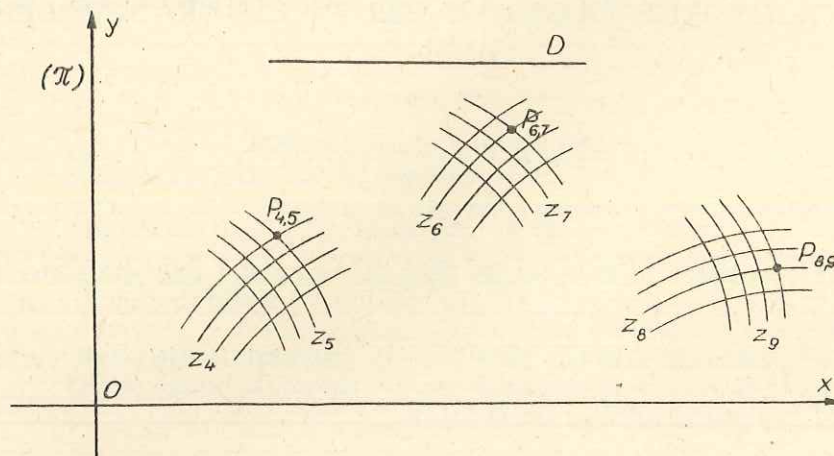


Fig. 1

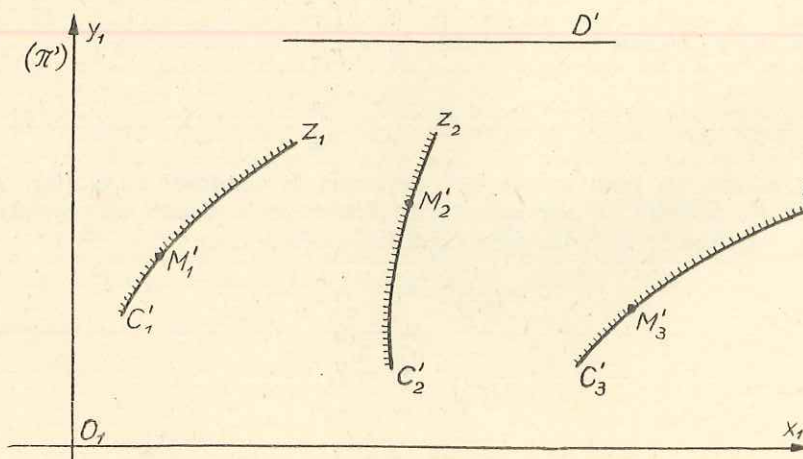


Fig. 2

Contactele de rezolvare sunt în acest caz date de

$$M'_1 \equiv P_{4,5}; \quad M'_3 \equiv P_{8,9} \quad (4)$$

Exprimînd analitic cele 3 contacte, se găsește sistemul de ecuații cu 9 variabile ce poate fi rezolvat cu o asemenea nomogramă, sub forma :

$$\begin{aligned} f_1 - f_{45} &= f_2 - f_{67} = f_3 - f_{89} \\ g_1 - g_{45} &= g_2 - g_{67} = g_3 - g_{89}. \end{aligned} \quad (5)$$

Așadar, un sistem de ecuații ce conține 9 variabile, care poate fi pus sub forma (5), se poate rezolva cu o nomogramă cu transparent orientat de forma indicată în fig. 1 și fig. 2.

În cazul cînd în planul (π) cîmpurile binare sunt înlocuite cu scări (fig. 3 și fig. 4) ale căror suport au ecuațiile :

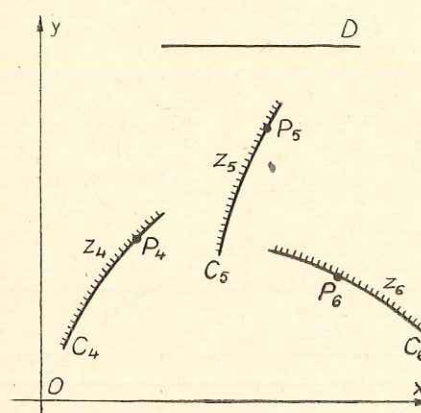


Fig. 3

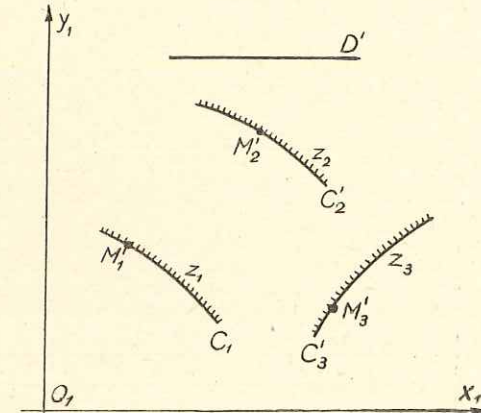


Fig. 4

$$\begin{array}{ll} (C_4) & x = f_4 \\ & y = g_4 \\ (C_5) & x = f_5 \\ & y = g_5 \\ (C_6) & x = f_6 \\ & y = g_6 \end{array} \quad \begin{array}{ll} (C'_1) & x_1 = f_1 \\ & y_1 = g_1 \\ (C'_2) & x_1 = f_2 \\ & y_1 = g_2 \\ (C'_3) & x_1 = f_3 \\ & y_1 = g_3 \end{array} \quad (6)$$

atunci o asemenea nomogramă rezolvă un sistem de ecuații cu 6 necunoscute, care poate fi pus sub forma

$$\begin{aligned} f_1 - f_4 &= f_2 - f_5 = f_3 - f_6 \\ g_1 - g_4 &= g_2 - g_5 = g_3 - g_6. \end{aligned} \quad (7)$$

În continuare ne vom ocupa mai îndeaproape de sistemele de ecuații cu 4 necunoscute, mai des întâlnite în tehnica. Dacă un asemenea sistem poate fi pus sub forma

$$\begin{aligned} f_3 - f_1 &= f_4 - f_2 \\ g_3 - g_1 &= g_4 - g_2 \end{aligned} \quad (8)$$

atunci acest sistem poate fi rezolvat cu o nomogramă cu transparent orientat, unde în planul fix (π) se trasează scările variabilelor z_1 și z_2 (fig. 5) cu suporturile (C_1) și (C_2) , care au ecuațiile

$$\begin{array}{ll} (C_1) & x = f_1 \\ & y = g_1 \end{array} \quad \begin{array}{ll} (C_2) & x = f_2 \\ & y = g_2 \end{array} \quad (9)$$

iar în planul mobil (π') se trasează scările variabilelor z_3 și z_4 (fig. 6) suporturile

$$\begin{array}{ll} (C'_3) & x_1 = f_3 \\ & y_1 = g_3 \end{array} \quad \begin{array}{ll} (C'_4) & x_1 = f_4 \\ & y_1 = g_4 \end{array} \quad (10)$$

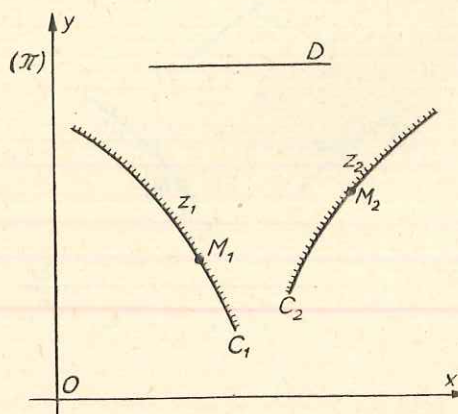


Fig. 5

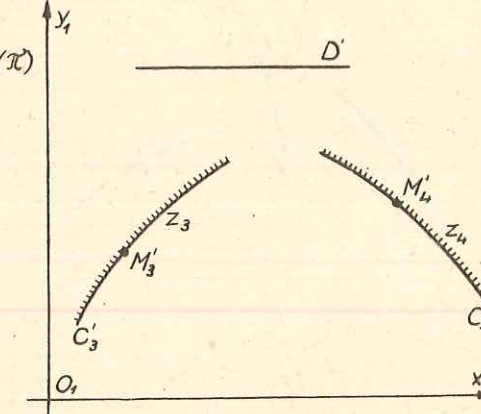


Fig. 6

Contactele de poziție sunt realizate în acest caz prin condiția de paralelism a dreptei (D') din planul (π') cu dreapta (D) din planul (π) și prin condiția ca un punct M'_3 de pe curba (C'_3) să fie în contact cu un punct M_1 de pe curba (C_1)

$$M'_3 \cong M_1,$$

iar contactul de rezolvare este dat deci de

$$M'_4 \cong M_4.$$

Într-un articol [6], D. G. Laptev a își propune să rezolve sistemul

$$\begin{aligned} f_2(v) &= f_1(u) + f_3(w) \\ f_2(v) &= \varphi_1(u) + f_4(t) \end{aligned} \quad (11)$$

cu ajutorul unei nomograme cu contact de tangență cu o singură aliniere. Noi reluăm acest sistem și arătăm că împreună cu o clasă mai largă de sisteme admite de asemenea o reprezentare simplă cu ajutorul nomogramei cu transparent orientat indicată mai sus.

Pentru aceasta, scriem sistemul (11) sub forma (8) și avem :

$$\begin{aligned} f_3 + f_1 &= 0 + f_2 \\ 0 - \varphi_1 &= f_4 - f_2 \end{aligned}$$

cu suportul scării pentru variabila (u) dat de ecuațiile

$$\begin{array}{ll} (u) & x = -f_1 \\ & y = \varphi_1 \end{array}$$

iar pentru variabila (v) de ecuațiile

$$\begin{array}{ll} (v) & x = -f_2 \\ & y = f_2 \end{array}$$

ambele variabile fiind reprezentate în planul fix (π) (fig. 7).

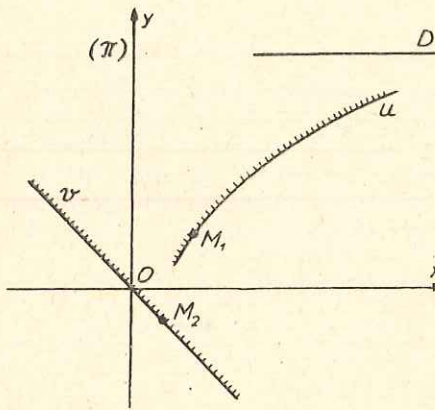


Fig. 7.

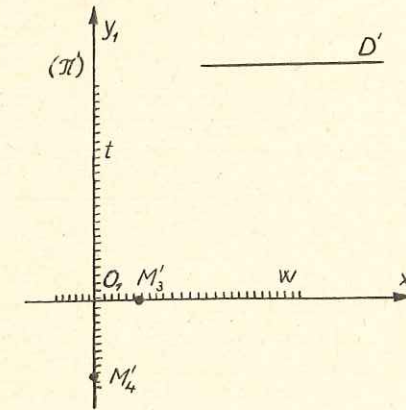


Fig. 8

Observăm că scara variabilei (u) se află pe o curbă, iar scara variabilei (v) pe bisectoarea a 2-a a sistemului oxy . Analog, în planul (π') avem pentru variabilele (w) și (t) scările ale căror suport sunt ecuațiile

$$\begin{array}{ll} (w) & x_1 = f_3 \\ & y_1 = 0 \end{array} \quad \begin{array}{ll} (t) & x_1 = 0 \\ & y_1 = f_4 \end{array}$$

adică sunt tocmai axele de coordonate (fig. 8).

Contactul de poziție este realizat de

$$M'_3 \sqsubset M_1; \quad D' \parallel D,$$

iar contactul de rezolvare este

$$M'_4 \sqsubset M_2.$$

Cu alte cuvinte, fiind date valorile variabilelor u și w , se pot găsi valorile corespunzătoare ale variabilelor v și t .

Pentru evitarea erorilor de contact și citire a rezultatului, este necesar ca scările corespunzătoare să se tăie sub unghiuri mai mici ca 20° . În acest scop se aplică celor 2 plane (π) și (π') o transformare afină, definită de relațiile

$$\begin{aligned} x &= a_0 + \mu_x(\delta_x \varphi_1 - f_1) \\ y &= b_0 + \mu_y(\varphi_1 - \delta_y f_1) \\ x &= a_0 + a + \mu_x(\delta_x f_2 - f_2) \\ y &= b_0 + b + \mu_y(f_2 - \delta_y f_2) \end{aligned} \quad (12)$$

pentru planul (π) și

$$\begin{aligned} x_1 &= a'_0 + \mu_x f_3 \\ y_1 &= b'_0 + \mu_y \delta_y f_3 \\ x_1 &= a'_0 + a + \mu_x \delta_x f_4 \\ y_1 &= b'_0 + b + \mu_y f_4 \end{aligned} \quad (13)$$

pentru planul (π') , în care parametrii ce apar în aceste relații se determină în funcție de datele problemei respective, în aşa fel ca noile scările, scările suporturilor transformate, să fie cât mai simple și precise în utilizare. În acest fel reprezentăm cele 2 plane cu scările respective în afara oricărui sistem de referință, deoarece acesta poate fi ales, pentru fiecare problemă aparte, în funcție de transformările (12) și (13) și avem fig. 9 și fig. 10.

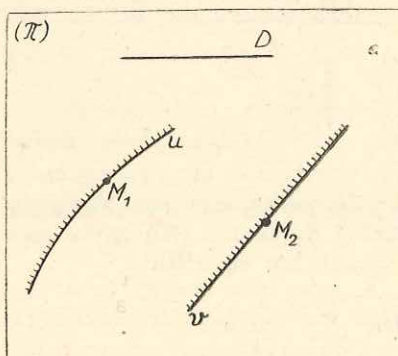


Fig. 9

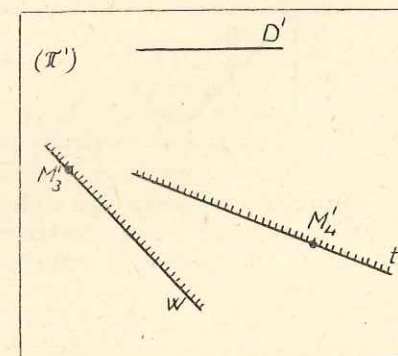


Fig. 10

Dacă sistemul (11) îl generalizăm sub formă

$$\begin{aligned} f_2(v) &= f_1(u) + f_3(w) \\ \varphi_2(v) &= \varphi_1(u) + f_4(t), \end{aligned} \quad (14)$$

atunci este evident faptul că nomograma acestui sistem se obține din nomograma sistemului (11) (fig. 9 și 10) prin înlocuirea scării variabilei (v) ce avea suportul rectiliniu, printr-o scară cu suport curbiliniu, ale cărei ecuații sunt: (fig. 11 și 12):

$$x = -f_2; \quad y = \varphi_2$$

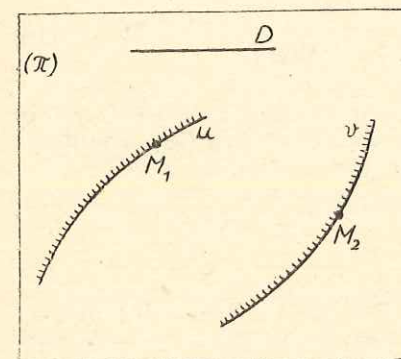


Fig. 11

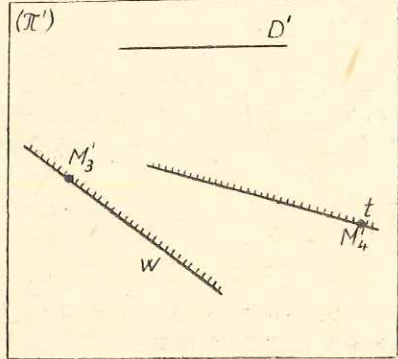


Fig. 12

În fine, sistemul

$$\begin{aligned} f_2(v) &= f_1(u) \cdot f_3(w) \\ \varphi_2(v) &= \varphi_1(u) \cdot f_4(t) \end{aligned} \quad (15)$$

prin aplicarea logaritmilor este transformat în sistemul

$$\begin{aligned} \log f_2(v) &= \log f_1(u) + \log f_3(w) \\ \log \varphi_2(v) &= \log \varphi_1(u) + \log f_4(t) \end{aligned} \quad (16)$$

care este evident de forma (14). În acest caz în planul fix (π) avem scările variabilelor u și v ale căror suporturi au ecuațiile

$$\begin{array}{ll} (u) & x = -\log f_1 \\ & x = \log \varphi_1 \\ (v) & x = -\log f_2 \\ & y = \log \varphi_2 \end{array}$$

iar în planul (π') scările variabilelor w și t , ale căror suporturi au ecuațiile

$$\begin{array}{ll} (w) & x_1 = \log f_3 \\ & y_1 = 0 \\ (t) & x_1 = 0 \\ & y_1 = \log f_4 \end{array}$$

Observăm că aceste scările au suporturi analoage cu cele ale nomogramei sistemului (14).

Transformările affine (12) și (13) efectuate asupra planului (π) , respectiv (π') devin în acest caz

$$\begin{aligned}x &= a_0 + \mu_x (\delta_x \log \varphi_1 - \log f_1) \\y &= b_0 + \mu_y (\log \varphi_1 - \delta_y \log f_1) \\x &= a_0 + a + \mu_x (\delta_x \log f_2 - \log f_2) \\y &= b_0 + b + \mu_y (\log \varphi_2 - \delta_y \log \varphi_2)\end{aligned}\quad (17)$$

pentru planul (π) și

$$\begin{aligned}x_1 &= a'_0 + \mu_x \log f_3; \quad x_1 = a'_0 + a + \mu_x \delta_x \log f_4 \\y_1 &= b'_0 + \mu_y \delta_y \log f_2; \quad y_1 = b'_0 + b + \mu_y \log f_4\end{aligned}\quad (18)$$

pentru planul (π') , în care parametrii ce apar în aceste transformări se determină pentru fiecare problemă dată, în aşa fel ca scările variabilelor u și w , respectiv v și t , să se taie sub un unghiu mai mare ca 20° .

Să ne fixăm acum atenția asupra sistemului

$$\begin{aligned}f_2(v) &= f_1(u) + f_3(w) \\ \varphi_2(v) &= f_1(u)f_4(t) + g_4(t)\end{aligned}\quad (19)$$

în care a doua ecuație din sistem este ecuația lui Cauchy. Scriind acest sistem sub forma

$$\begin{aligned}f_2 - 0 &= f_1 + f_3 \\ \varphi_2 - 0 &= f_1 f_4 + g_4 + 0\end{aligned}\quad (20)$$

observăm că se poate rezolva de asemenea cu o nomogramă cu transparent orientat, în care în planul fix (π) avem pentru variabila v o scară al cărei suport are ecuațiile parametrice

$$\begin{aligned}(v) \quad x &= f_2 \\ y &= \varphi_2\end{aligned}$$

ar pentru variabilele u și t un cîmp binar, exprimat analitic de ecuațiile

$$\begin{aligned}(u, t) \quad x &= f_1 \\ y &= f_1 f_4 + g_4\end{aligned}$$

adică două familii de drepte, una paralelă cu axa oy , pentru variabila u , iar cealaltă, pentru t , o familie de drepte oarecare (fig. 13). În planul mobil (π') avem un punct fix, originea și scară variabilei (w) , al cărei suport are ecuațiile parametrice (fig. 14)

$$\begin{aligned}(w) \quad x_1 &= -f_3 \\ y_1 &= 0.\end{aligned}$$

Desigur că și în acest caz, printr-o transformare afină, convenabil aleasă, poziția scărilor și a cîmpului binar poate fi astfel determinată, încît scările corespunzătoare să se taie sub unghiiuri mai mari de 20° .

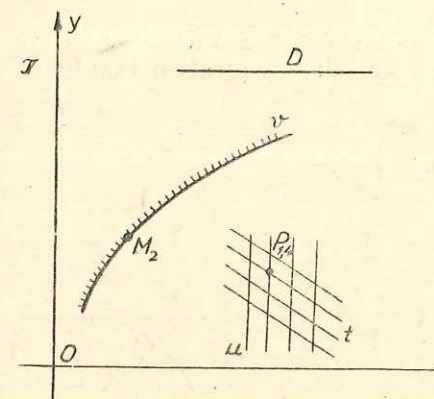


Fig. 13

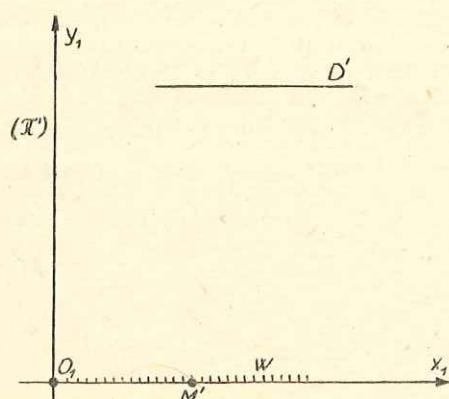


Fig. 14

Contactul de poziție se determină dîndu-se o valoare a variabilei v și punând condiția ca punctul M_2 , corespunzător acestei valori, să coincidă cu punctul fix O_1 din planul mobil — și prin paralelismul dreptei D' cu dreapta D .

$$O_1 \equiv M_2; \quad D' \parallel D.$$

În acest caz scara variabilei w se va întrețăia cu cîmpul (u, t) , realizînd contactul de rezolvare

$$M'_3 \equiv P_{1,4}.$$

Cu alte cuvinte, dîndu-se variabila v și una dintre variabilele u , w , t se pot găsi celelalte două.

Dacă sistemul (19) ia forma particulară

$$\begin{aligned}f_2(v) &= f_1(u) + f_3(w) \\ f_2(v) &= f_1(u) \cdot f_4(t) + g_4(t),\end{aligned}\quad (21)$$

nomograma acestui sistem este aceeași cu a sistemului (19), cu singura deosebire că scara variabilei v are de data aceasta un suport rectiliniu.

O generalizare a sistemului (19) o obținem prin sistemul

$$\begin{aligned}f_2(v) &= f_1(u) + f_3(w) \\ \varphi_2(v) &= \varphi_1(u)f_4(t) + g_4(t),\end{aligned}\quad (22)$$

în care de data aceasta cîmpul binar din planul (π) este exprimat analitic de

$$(u, t) \quad x = f_1 \\ y = \varphi_1 f_4 + g_4$$

adică în planul (π) variabila u este reprezentată și de data aceasta tot printr-o familie de drepte paralele, pe cînd variabila t printr-o familie de curbe (fig. 15 și fig. 16).

Contactul de poziție este și în acest caz

$$Q' \cong M_2; \quad D' \parallel D$$

iar contactul de rezolvare este dat de

$$M'_3 \cong P_{1,4}.$$

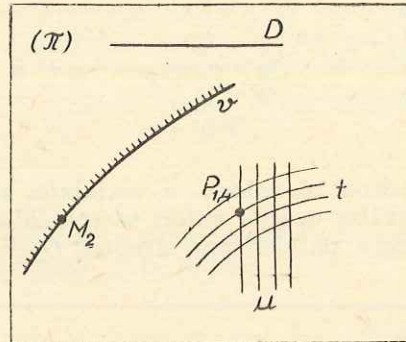


Fig. 15

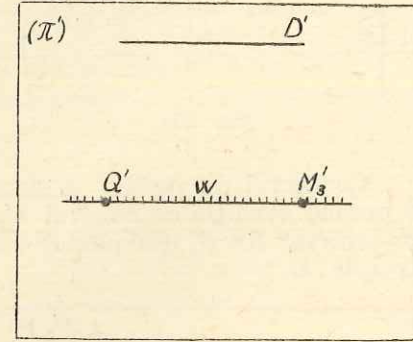


Fig. 16

Dacă ambele ecuații ale sistemului sunt de tip Cauchy

$$\begin{aligned} f_1(u) &= f_2(v) h_3(w) + l_3(w) \\ \varphi_2(v) &= \varphi_1(u) f_4(t) + g_4(t), \end{aligned} \quad (23)$$

atunci, scriind acest sistem sub forma

$$\begin{aligned} f_1(u) + 0 &= f_2(v) h_3(w) + l_3(w) + 0 \\ \varphi_1(u) f_4(t) + g_4(t) &+ 0 = \varphi_2(v) + 0, \end{aligned}$$

putem trasa în planul fix (π) cîmpurile binare (u, t) și (v, w) , exprimate analitic de

$$\begin{aligned} (u, t) \quad x &= f_1(u) \\ y &= \varphi_1(u) f_4(t) + g_4(t) \\ (v, w) \quad x &= f_2(v) h_3(w) + l_3(w) \\ y &= \varphi_2(v) \end{aligned} \quad (24)$$

iar în planul (π') , 2 puncte fixe M'_1 și M'_2 (fig. 17 și 18).

Pentru folosirea acestei nomograme să presupunem mai întîi că sunt date valorile variabilelor v și w , deci că se cunoaște punctul $P_{2,3}$; în acest caz contactul de poziție este realizat de

$$M'_1 \cong P_{2,3}; \quad D' \parallel D$$

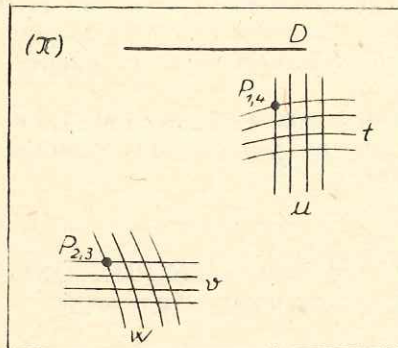


Fig. 17

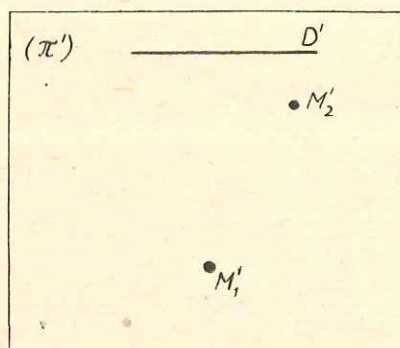


Fig. 18

iar contactul de rezolvare de

$$M'_2 \cong P_{1,4}.$$

Dacă sunt date valorile variabilelor u și t , atunci contactul de poziție este realizat de

$$M'_2 \cong P_{1,4}; \quad D' \parallel D$$

ar contactul de rezolvare de

$$M'_1 \cong P_{2,3}$$

Așa dar, cunoscînd valorile variabilelor v și w se pot găsi cu această nomogramă valorile corespunzătoare ale variabilelor u și t , care verifică sistemul (23), sau cunoscînd valorile variabilelor u și t se pot determina valorile corespunzătoare pentru variabilele v și w .

În fine, dacă avem sistemul

$$\begin{aligned} f_2(v) &= f_1(u) h_3(w) + l_3(w) \\ \varphi_2(v) &= \varphi_1(u) f_4(t) + g_4(t), \end{aligned} \quad (25)$$

atunci explicitînd funcția $f_1(u)$ și notînd

$$\frac{1}{h_3(w)} = m_3(w); \quad -\frac{l_3(w)}{h_3(w)} = n_3,$$

obținem sistemul echivalent

$$\begin{aligned} f_1(u) &= f_2(v) m_3(w) + n_3(w) \\ \varphi_2(v) &= \varphi_1(u) f_4(t) + g_4(t) \end{aligned} \quad (26)$$

care este de forma (23) și care deci se poate rezolva cu o nomogramă asemănătoare cu nomograma acestui sistem.

ИЗОБРАЖЕНИЕ НЕКОТОРЫХ СИСТЕМ УРАВНЕНИЙ ПРИ ПОМОЩИ НОМОГРАММ СОРИЕНТИРОВАННЫМ ТРАНСПАРАНТОМ

КРАТКОЕ СОДЕРЖАНИЕ

В этом труде авторы, исходя от решения системы уравнений при помощи номограммы с касательным соприкосновением с одним выравниванием [6], решают эту систему при помощи номограммы с ориентированным транспарантом.

Потом этот метод распространяется ещё к 6 типам систем двух уравнений с четырьмя неизвестными, которые можно решать при помощи номограмм с ориентированным транспарантом.

LA REPRÉSENTATION DE QUELQUES SYSTÈMES D'ÉQUATIONS À L'AIDE DES NOMOGRAMMES À TRANSPARENT ORIENTÉ

RÉSUMÉ

Dans ce travail, les auteurs, partant de la résolution d'un système d'équations à l'aide d'un nomogramme à contact de tangence avec un seul alignement [6], résolvent ce système au moyen d'un nomogramme à transparent orienté.

Puis ils étendent cette méthode à six autres types de systèmes de deux équations à 4 inconnues, dont la résolution est fournie par un nomogramme à transparent orienté.

BIBLIOGRAFIE

1. Б а л Л., Канонические формы для уравнений с четырьмя и пятью переменными. *Mathematica*, 1 (24), 2, 193—197 (1959).
2. В а 1 Л., Nomogramme cu transparent orientat pentru ecuații cu 4 și 5 variabile. Studii și cercet. de matem. (Cluj), VII, 196—176 (1957).
3. — Quelques types de nomogrammes tangentiels. *Mathematica*, 2 (25), 2, 201—210 (1960).
4. Х о в а н с к и й Г. С., Некоторые вопросы практической номографии. Вычислительная математика, 4, 3—103 (1959).
5. — Исследование возможностей преобразования номограмм с прозрачным ориентированным транспарантом. Вычислительная математика, 7, 133—151 (1961).
6. Л а п т е в а Д. Г., О проективном преобразовании номограмм из выравненных точек с прямолинейной ответной шкалой. Вычислительная математика, 4, 150—159 (1959).
7. R a d o F., B a l L., G e r g e l y E., I o n e s c u G h., *Lucrările confătuiriile de geometrie diferențială din 9—12 iunie 1955*, Acad. R.P.R. — Baza Timișoara, 1955, 361—366.